

محاسبه افت فشار در جریان چرخشی دوفازی در کندانسورها

محمد علی اخوان بهابادیⁱ; وحید حجازیⁱⁱ

چکیده

در مقاله حاضر، بررسی آزمایشگاهی بر روی میزان افت فشار جریان دو فاز چگالشی مبرد R-134a در داخل لوله افقی صاف و همچنین لوله‌های افقی مجهز به نوار پیچیده شده با چهار نسبت پیچش ۶، ۹، ۱۲ و ۱۵ در داخل آن صورت گرفته است. قطر داخلی لوله‌ها ۱۰/۷ mm و قطر خارجی آن‌ها ۱۲/۷ mm است. سرعت جرمی مبرد در محدوده ۵۶-۱۳۰ kg/m²s و کیفیت بخار متوسط در کندانسور تحت آزمایش از ۰/۱ تا ۰/۹۵ می‌باشد. دستگاه مورد استفاده در این بررسی، یک سیستم تبرید تراکمی بخار مجهز به کلیه وسایل اندازه گیری مورد نیاز است. در این مطالعه، داده‌های آزمایشگاهی برای لوله صاف و همچنین لوله‌های با نوار پیچیده شده جمع آوری شد.

تحلیل بر روی داده‌ها نشان داد که نصب نوارهای پیچیده شده در داخل لوله افقی با میزان آزادی برابر با صفر، می‌تواند افت فشار را در بدترین حالت (نسبت پیچش ۶) به میزان ۲۴۰٪ نسبت به لوله صاف افزایش دهد. براساس داده‌های جمع آوری شده در این تحقیق، روابطی برای محاسبه افت فشار در چگالش مبرد R-134a در داخل لوله صاف و همچنین لوله‌های با نوار پیچیده شده به دست آمد.

کلمات کلیدی

افت فشار، نوار پیچیده شده، چگالش، کندانسور، جریان چرخشی، R-134a

Estimation of Swirl Flow Pressure Drop in Condensers

M. A. Akhavan Behabadi.; V. Hejazi

ABSTRACT

In the present work, experimental studies on two phase condensing pressure drop of R-134a inside five horizontal tubes were investigated. One tube was plain and four others had twisted tape inserts with different twist ratios of 6, 9, 12 and 15. The inner and outer diameter of the test tube were 10.7mm and 12.7mm, respectively. The ranges of mass velocities and vapor qualities were 56-130 kgm⁻²s and 0.1 and 0.95, respectively. Data analysis showed that insertion of twisted tapes inside tubes increased the pressure drop by as much as 240% above the plain tube values on a nominal area basis. Based on the collected data, two correlations were developed to estimate the pressure drop inside plain tube and also twisted tape inserted tubes.

KEYWORDS

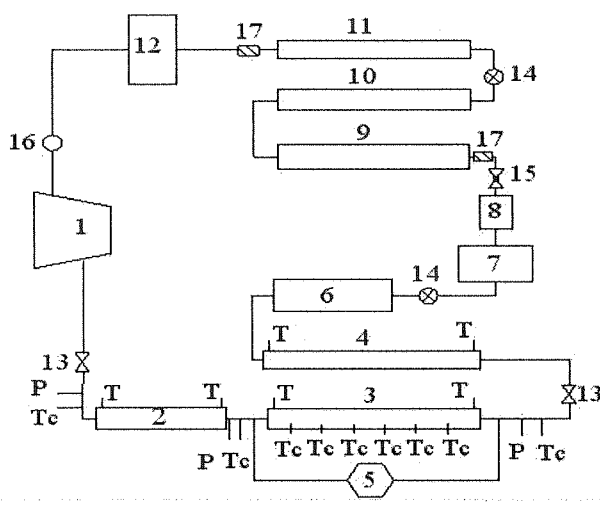
Pressure Drop, Twisted Tape, Condenser, R-134a

ⁱدانشیار دانشکده مهندسی مکانیک، پردیس دانشکده‌های فنی، دانشگاه تهران: Akhavan@ut.ac.ir

ⁱⁱدانشجوی کارشناسی ارشد مهندسی مکانیک، پردیس دانشکده‌های فنی، دانشگاه تهران: Hejazi_vahid@yahoo.com

است که آب خنک کن در پوسته خارجی آن جریان دارد و مبرد در لوله داخلی آن چگالیده می‌شود. لوله داخلی آن از جنس مس است که قطر داخلی آن $10/7\text{ mm}$ ، قطر خارجی آن $12/7\text{ mm}$ و طول آن 1040 mm می‌باشد. دمای مبرد به وسیله ترموموکوپل‌های نوع T و دمای آب خنک کن به وسیله ترموموکوپل‌های نوع PT100 در ورود و خروج از کندانسور اصلی (تست کندانسور) اندازه گیری می‌شود. بعلاوه، فشار استاتیکی مبرد در ورود و خروج از کندانسور اصلی اندازه گیری می‌شود. در ضمن، کل کندانسور با پشم شیشه عایق بندی می‌شود.

برای آن که در ورود به کندانسور اصلی مبرد، کیفیت مطلوب داشته باشد، از یک کندانسور اولیه^۱ استفاده می‌شود تا بتوان آزمایش‌ها را برای محدوده نسبتاً وسیعی از کیفیت بخار انجام داد؛ و برای آن که مبرد خروجی قبل از ورود به دبی سنج کاملاً مایع شده باشد از یک کندانسور ثانویه^۲ استفاده شد. پارامترهایی از قبیل دبی مبرد و دبی آب نیز اندازه گیری شدند. دمای مبرد قبل و بعد از کندانسور اولیه و ثانویه با ترموموکوپل‌های نوع T و دمای آب قبل و بعد از این دو کندانسور و کندانسور اصلی با ترموموکوپل‌های نوع PT100 که همگی کالیبره شده بودند، به دست آمد.



شکل (۱): اندازه و نوع قلم ها

- | | |
|---------------------------|--------------------------|
| -۱۱- پس اوپراتور | -۱- کمپرسور |
| -۱۲- جمع کننده قطرات مایع | -۲- پیش کندانسور |
| -۱۳- شیر قلع و وصل | -۳- تست کندانسور |
| -۱۴- شیر کنترلی | -۴- کندانسور ثانویه |
| -۱۵- شیر انبساط | -۵- دستگاه سنجش افت فشار |
| -۱۶- دریچه رویت | -۶- دبی سنج |
| -۱۷- عایق الکتریکی | -۷- دریافت کننده مایع |
| ترموکوبل سری تی-TC | -۸- فیلتر خشککن |
| ترموکوبل سری پی تی-T | -۹- پیش اوپراتور |
| گیج فشار-P | -۱۰- اوپراتور اصلی |

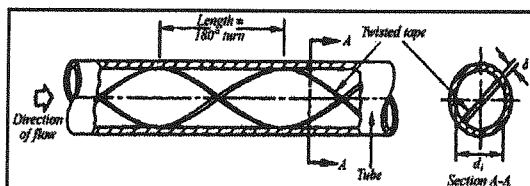
پیش بینی صحیح افت فشار جریان دوفازی در کندانسورها و اوپراتورها و به طورکلی در خطوط لوله انتقال جریان دوفازی، ضرورت اصلی در طراحی و بهینه سازی سیستم‌های تهویه مطبوع، پمپ‌های حرارتی، صنایع تبرید و نیروگاه‌های حرارتی است. این موضوع با توجه به محدودیت منابع انرژی و لزوم صرفه چویی در مصرف آن و همچنین با عنایت به کاربردهای فراوان کندانسور در صنایع مختلف، از اهمیت بالایی برخوردار است. از این رو، به منظور طراحی یک کندانسور با عملکرد مطلوب، به دست آوردن افت فشار بهینه و متعادل در آن، همراه با بالاترین میزان انتقال حرارت مهم است. بدین منظور از روش‌های مختلف فعال و غیر فعال^۳، برای افزایش میزان انتقال حرارت استفاده می‌شود. این روش‌ها هر چند میزان انتقال حرارت را افزایش می‌دهند؛ که مطلوب ماست، ولیکن عموماً باعث افزایش افت فشار نیز می‌شوند. یکی از روش‌های غیر فعال، استفاده از نوار پیچیده شده^۲ است. این وسیله قیمت نسبتاً پایینی دارد و براحتی در داخل لوله نصب می‌شود و بیرون آوردن آن به منظور تمیز کردن لوله آسان است. بررسی منابع موجود نشان دهنده این موضوع است که اگرچه بررسی‌های زیادی در مورد روش‌های مختلف افزایش انتقال حرارت و تخمین افت فشار مبرد داخل لوله‌های افقی صورت گرفته^{[۱]-[۵]}؛ لیکن در مورد استفاده از نوار پیچیده شده به عنوان افزایش دهنده انتقال حرارت در داخل لوله‌ها، مخصوصاً در بحث افت فشار چگالشی کار اندکی صورت گرفته است. از طرفی به دلیل صفر بودن پتانسیل تخریب لایه ازن مبرد R-134a، امروزه این مبرد جایگزین مبردهای قدیمی، مانند R-12 شده است که برای لایه ازن خطرآفرین بودند. این امر دلیل اصلی استفاده از این مبرد در این مطالعه آزمایشگاهی بوده است. تحقیقات حاضر به منظور جمع آوری داده‌های تجربی افت فشار در چگالش مبرد R-134a در لوله صاف و لوله‌های با نوار پیچیده شده افقی و ارایه روابطی به منظور پیش بینی افت فشار جریان دوفازی در آنها صورت گرفته است.

۲- شرح دستگاه آزمایش

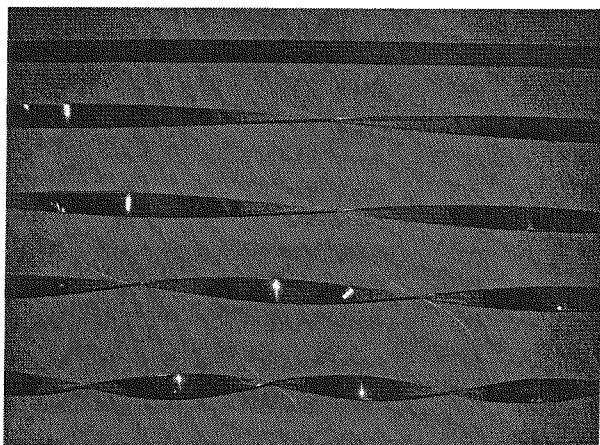
دستگاه آزمایش یک سیستم تبرید تراکمی بخار مجهز به کلیه وسایل اندازه گیری مورد نیاز است. این سیستم به صورت شماتیک در شکل (۱) نشان داده شده است. کندانسور مورد آزمایش^۳ یک مبدل حرارتی دو لوله‌ای از نوع جریان مخالف^۳

جدول(۲) : محدوده پارامترهای آزمایش

۵۶-۱۲۰ kg/m ² s	سرعت جرمی مبرد
۰/۱۰-۰/۹۵	کیفیت متوسط بخار
۸-۱۰	نسبت پیچش
۱۹/۴-۳۲/۲ °C	درجه حرارت چگالش متوسط
۹/۳-۱۱/۵ °C	درجه حرارت آب خنک کن
۰/۰۲۱-۰/۱۷۶ kg/s	دبی جرمی آب خنک کن
۰/۱-۲۷/۶ kW/m ²	شار حرارتی متوسط



شکل(۲) : یک نمونه لوله داری نوار پیچیده شده



شکل (۳) : انواع نوارهای مورد آزمایش

۴- ارایه نتایج و بحث و بررسی

۴-۱- نتایج لوله صاف

افت فشارکل دو فاز درون لوله برابر حاصل جمع سه عامل زیر است: افت فشار استاتیکی ΔP_{static} ، افت فشار ممتنوم ΔP_{mom} و افت فشار اصطکاکی ΔP_{frict}

$$\Delta P_{total} = \Delta P_{static} + \Delta P_{mom} + \Delta P_{frict} \quad (1)$$

برای لوله افقی به علت اینکه تغییر در ارتفاع وجود ندارد $\Delta P_{static} = 0$ است و افت فشار ممتنوم براساس رابطه رویال و برگلز[۸] به صورت زیر محاسبه می شود:

$$\Delta P_{mom} = G_i^2 \cdot \Delta x \left\{ \frac{2x}{\rho_g \alpha} - \frac{2(1-x)}{\rho_f (1-\alpha)} + q \left[\frac{\alpha(1-x)}{x(1-\alpha)\rho_f} - \frac{x(1-\alpha)}{\alpha(1-x)\rho_g} \right] \right\} \quad (2)$$

برای اندازه گیری اختلاف فشار مبرد R-134a در داخل کندانسور اصلی، از یک دستگاه اندازه گیری افت فشار (DP) استفاده شد که قادر به اندازه گیری افت فشار تا ۳ bar برای ۰ . تا ۱۵۰ kPa به وسیله شرکت سازنده کالیبره شده است. در این مطالعه همان طورکه اشاره شد آزمایش بروی لوشهایی با نوارهای پیچیده شده با نسبت‌های پیچش^۷ از تقسیم گام نوار ۱۲/۹ و ۱۵ و لوله صاف انجام شد. نسبت پیچش^۷ از تقسیم گام نوار در یک پیچش ۱۸۰ درجه‌ای بر قطر داخلی لوله حاصل شد. جنس نوارها از فولاد زنگ نزن بود که مشخصات ابعادی آنها در جدول (۱) نشان داده شده است. پارامترهای مورد استفاده عبارتند از: طول لوله L ، نسبت پیچش Y ، ضخامت نوار δ_h و قطر داخلی لوله D .

این نوارها به گونه‌ای ساخته می‌شوند که کاملاً به دیواره داخلی لوله بچسبند و حداقل میزان آزادی را دارا باشند.

۳- جمع‌آوری و تحلیل داده‌ها

در مجموع، ۲۱۶ آزمایش با شش سرعت جرمی متفاوت مبرد برای جریان داخل لوله صاف و داخل لوله‌های مجهز به نوار پیچیده شده انجام شد. محدوده پارامترهای مختلف آزمایش در جدول (۲) آمده است.

برای محاسبه درجه حرارت‌های اشباع و آنتالپی‌های اشباع و فوق گرمای R-134a از مرجع [۶] و سایر خواص از جمله گرانوی از [۷] استفاده شده است. برای محاسبه کیفیت بخار در ورودی و خروجی کندانسور اصلی از موازنۀ حرارتی استفاده کردیم. کیفیت بخار متوسط نیز به صورت میانگین کیفیت بخار ورودی و خروجی از کندانسور محاسبه می‌شود. در شکل (۲) یک نمونه لوله با نوار پیچیده شده آورده شده است. شکل (۳) انواع نوارهای مورد استفاده در آزمایش را نشان می‌دهد.

جدول (۱) : مشخصات لوله‌های دارای نوار پیچیده شده

شماره لوله	D (mm)	L (mm)	δ_h (mm)	Y
۱	۱۰/۷	۱۰۴۰	.۷/۷	۶
۲	۱۰/۷	۱۰۴۰	.۷/۷	۹
۳	۱۰/۷	۱۰۴۰	.۷/۷	۱۲
۴	۱۰/۷	۱۰۴۰	.۷/۷	۱۵

که G سرعت جرمی کل (مایع + بخار)، x کیفیت متوسط بخار و α ضریب وید است که براساس رابطه با توروث [۹] به صورت زیر محاسبه می‌شود:

$$\alpha = \frac{1}{1 + A \left(\frac{1-x}{x} \right)^P \left(\frac{\rho_g}{\rho_f} \right)^q \left(\frac{\mu_f}{\mu_g} \right)^r} \quad (3)$$

ثابت‌های معادله فوق از جدول (۳) به دست می‌آیند. در اینجا ثابت‌ها با توجه به مقاله رویال و برگان [۸]، براساس مدل همگن به دست می‌آیند.

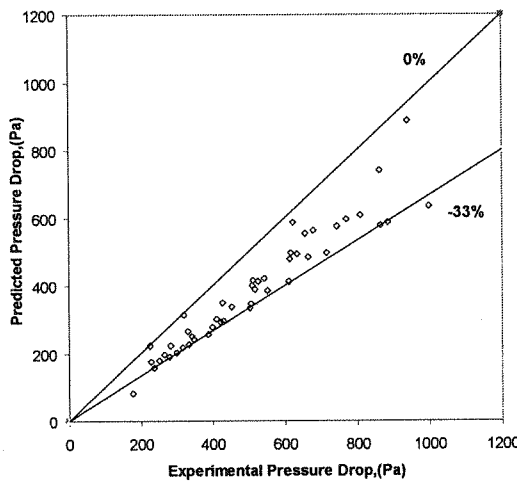
جدول (۳): ثابت‌های رابطه (۳)

Model	A	P	q	r
Lockhart & Martinelli (1949)	۰/۲۸	۰/۶۴	۰/۲۶	۰/۰۷
Fauske (1962)	۱	۱	۰/۵	۰
Thom (1964)	۱	۱	۰/۸۹	۰/۱۸
Zivi (1964)	۱	۱	۰/۸۷	۰
Baroczy (1965)	۱	۰/۷۴	۰/۶۵	۰/۱۲
Moody (1965)	۱	۱	۰/۶۷	۰
Wallis (1969), Separated	۱	۰/۷۲	۰/۴۰	۰/۰۸
Wallis (1969), Homogeneous	۱	۱	۱	۰

افت فشار کل در تست کندانسور (ΔP_{tot}) به وسیله دستگاه افت فشار اندازه گیری می‌شود. با استفاده از خواص جریان، افت فشار ناشی از تغییر مومنتوم از رابطه (۲) به دست می‌آید؛ بنابراین، افت فشار اصطکاکی طبق معادله (۱) از کم کردن دو مقدار مذکور حاصل می‌شود. داده‌های آزمایشگاهی به دست آمده (ΔP_{fric}) با پنج روش محاسبه افت فشار اصطکاکی جریان دوفازی در لوله صاف [۱۰-۱۴] مقایسه شد. مشاهده شد که رابطه فریدل [۱۱] با داده‌های به دست آمده در لوله صاف بهترین تطابق را دارد (شکل ۴). این رابطه، داده‌های آزمایشگاهی را از ۳۲٪ تا ۰٪ پیش بینی می‌کند.

بنابراین با استفاده از داده‌های آزمایشگاهی رابطه فریدل برای لوله صاف به صورت زیر اصلاح شد تا هم درصد خطا کاهش یابد و هم در تحلیل‌های بعدی از آن به عنوان رابطه مبتدا استفاده شود:

$$\Delta P_{fric} = \Delta P_f \times \varphi_{fr}^2 \quad (4)$$



شکل (۴): مقایسه نتایج لوله صاف با رابطه فریدل

که در آن افت فشار فاز مایع از رابطه زیر به دست می‌آید:

$$\Delta P_f = 4 f_f \left(\frac{L}{D} \right) G_{tot}^2 \left(\frac{1}{2 \rho_f} \right) \quad (5)$$

که:

$$Re_f = \frac{G_f D}{\mu_f} \quad (6)$$

$$f_f = \frac{0.079}{Re_f^{0.25}} \quad (7)$$

$$f_g = \frac{0.079}{Re_g^{0.25}} \quad (8)$$

ضریب تصحیح دوفازی وی عبارت است از :

$$\varphi_{fr}^2 = E + \frac{a_1 F H}{Fr_H^{a_2} We_f^{a_3}} + a_4 \quad (9)$$

که در آن :

$$E = (1-x)^2 + x^2 \left(\frac{\rho_f f_g}{\rho_g f_f} \right) \quad (10)$$

$$F = x^{a_5} (1-x)^{a_6} \quad (11)$$

$$H = \left(\frac{\rho_f}{\rho_g} \right)^{a_7} \left(\frac{\mu_g}{\mu_f} \right)^{a_8} \left(1 - \frac{\mu_g}{\mu_f} \right)^{a_9} \quad (12)$$

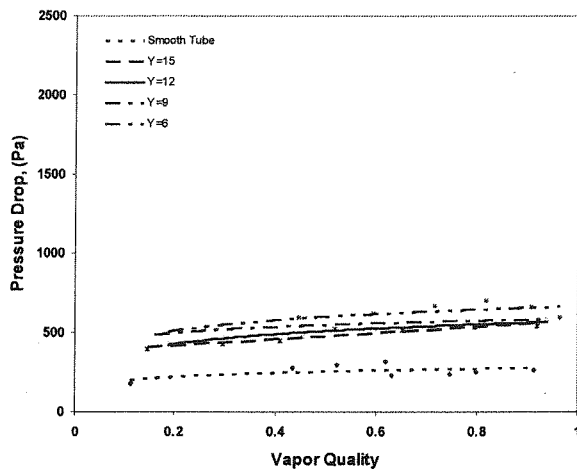
عدد فرود به صورت زیر به دست می‌آید :

$$Fr_H = \frac{G^2}{g D \rho_H^2} \quad (13)$$

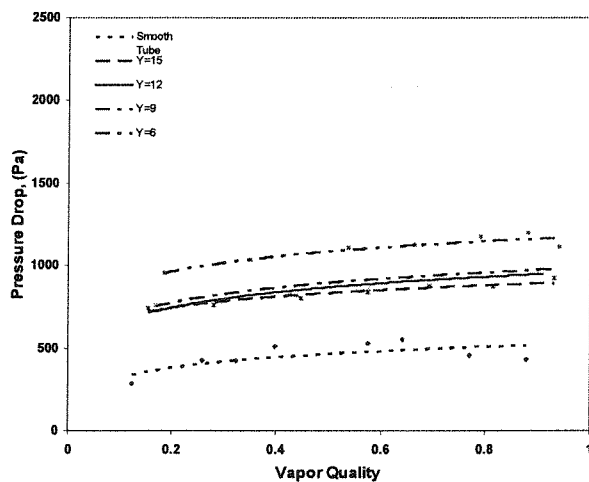
و عدد وبر مایع برابر است با :

$$We_f = \frac{G_{tot}^2 D}{\rho_H \sigma} \quad (14)$$

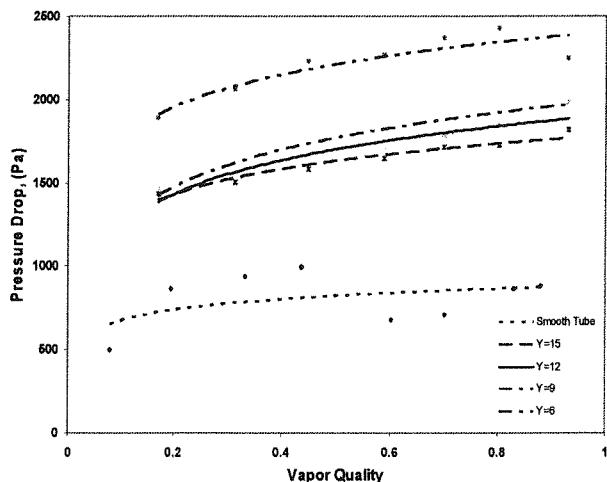
همچنین دانسیته همگن به صورت زیر تعریف می‌شود :



شکل(۶) : مقایسه مقادیر آزمایشگاهی لوله صاف و لوله های با نوار پیچیده شده در سرعت جرمی $56 \text{ kg/m}^2 \text{s}$



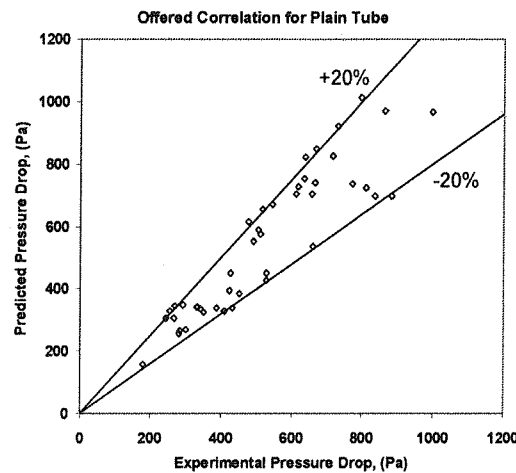
شکل(۷) : مقایسه مقادیر آزمایشگاهی لوله صاف و لوله های با نوار پیچیده شده در سرعت جرمی $82 \text{ kg/m}^2 \text{s}$



شکل(۸) : مقایسه مقادیر آزمایشگاهی لوله صاف و لوله های با نوار پیچیده شده در سرعت جرمی $130 \text{ kg/m}^2 \text{s}$

$$\rho_H = \left(\frac{x}{\rho_g} + \frac{1-x}{\rho_f} \right)^{-1} \quad (10)$$

ثابت های a_1 تا a_6 در روابط فوق در جدول (۴) آمده است. رابطه فوق نتایج مطالعه حاضر را مطابق شکل (۵) در محدوده $\pm 20\%$ داده های آزمایشگاهی پیش بینی می کند. میزان انحراف میانگین $(M.D\%)$ و انحراف استاندارد $(S.D\%)$ مقادیر افت فشار محاسبه شده با رابطه فوق از مقادیر آزمایشگاهی مطالعه حاضر، به ترتیب $-2/19\%$ و $+11/2\%$ می باشد.



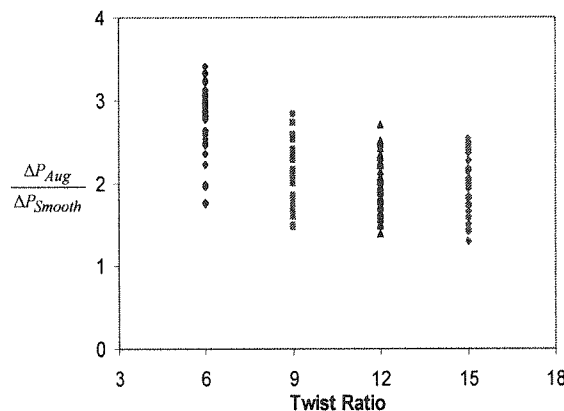
شکل(۹) : مقایسه داده های آزمایشگاهی لوله صاف با مقادیر پیش بینی شده با رابطه (۴)

۴-۲- نتایج لوله با نوار پیچیده شده

همان طور که اشاره شد این آزمایش ها برای ۵ لوله متفاوت در ۶ سرعت جرمی و در ۷ کیفیت بخار برای هر سرعت جرمی انجام شدند. تغییرات افت فشار لوله های با نوار پیچیده شده و لوله صاف نسبت به کیفیت بخار در شکل های (۶) تا (۱۰) نشان داده شده است. شش شکل نخست برای نشان دادن تأثیر گام نوار (نسبت پیچش) در افزایش افت فشار در سرعت جرمی ثابت و چهار شکل بعدی به منظور نمایش اثر سرعت جرمی بر میزان افت فشار برای نسبت های پیچش متفاوت ترسیم شده اند.

یک نسبت پیچش ثابت با افزایش سرعت جرمی میزان افت فشار افزایش می‌یابد. این مورد به دلیل افزایش تنش برشی لایه مایع نسبت به دیواره داخلی لوله و سطح نوار حاصل می‌شود. علت دیگر این مورد می‌تواند افزایش تولید قطرات مایع معلق در توده بخار^۱ و به تناسب آن افزایش بازگشت این قطرات به سطح لایه مایع^۲ باشد که موجب ایجاد اغتشاش در سطح لایه مایع و افزایش افت فشار اصطکاکی در سطح این لایه می‌شود.

شکل (۱۱) تغییرات نسبت افت فشار لوله با نوار پیچیده شده به لوله صاف، با نسبت پیچش را برای همه سرعت‌های جرمی نشان می‌دهد. همان طور که در این شکل مشاهده می‌شود، این نسبت افت فشار برای نسبت پیچش ۶، از ۱/۷ تا ۳/۴ تغییر می‌کند، در حالی که برای نسبت پیچش ۱۵، تغییرات آن از ۱/۳ تا ۲/۵ خواهد بود. همچنین، از شکل‌های (۸) و (۱۱) نتیجه می‌شود که در بدترین شرایط (نسبت پیچش ۶ و سرعت جرمی $130 \text{ kgm}^2/\text{s}$ و کیفیت متوسط بخار حدود ۰/۹۵)، نوار پیچیده شده افت فشار را تا حدود ۲۴۰٪ نسبت به لوله صاف افزایش می‌دهد.

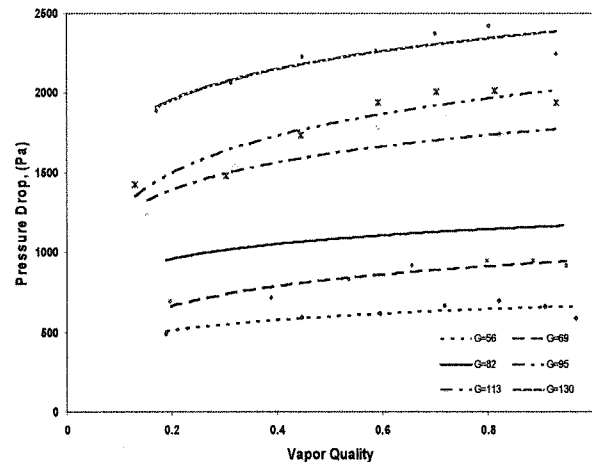


شکل (۱۱) : تغییرات نسبت افت فشار لوله های با نوار پیچیده شده به لوله صاف با نسبت پیچش

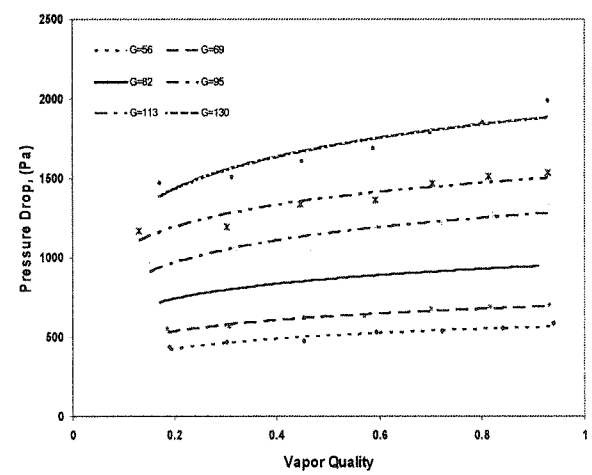
۵- رابطه پیشنهادی برای جریان داخل لوله های با نوار پیچیده شده

با بررسی تاریخچه موجود در مورد چگالش اجباری مبرد R-134a در لوله های با نوارهای پیچیده شده، مشاهده شد که رابطه ای به منظور پیش بینی افت فشار مربوطه موجود نیست. از این رو با توجه به مقادیر آزمایشگاهی حاصل برای لوله های با نوار پیچیده شده، به یافتن رابطه ای به منظور پیش بینی این داده ها اقدام شد.

بدین منظور از رابطه به دست آمده برای پیش بینی مقادیر افت فشار لوله صاف (رابطه^۴) به عنوان رابطه مبنا استفاده شد



شکل (۹) : مقایسه مقادیر آزمایشگاهی در سرعت های جرمی متفاوت و نسبت پیچش ۶



شکل (۱۰) : مقایسه مقادیر آزمایشگاهی در سرعت های جرمی متفاوت و نسبت پیچش ۶

از بررسی این شکل ها می‌توان فهمید که در حالت کلی نصب نوارهای پیچیده شده در داخل لوله های افقی، باعث افزایش افت فشار به میزان قابل توجهی می‌شود که مقدار آن تابعی از سرعت جرمی، کیفیت بخار و ابعاد هندسی نوار پیچیده شده(نسبت پیچش) است. با بررسی اشکال (۶) تا (۸) نتیجه می‌شود که با افزایش کیفیت بخار در سرعت جرمی ثابت، میزان افت فشار افزایش می‌یابد. این امر به دلیل افزایش حجم توده بخار نسبت به لایه مایع است که موجب افزایش سرعت بخار نسبت به سرعت لایه مایع و در نتیجه افزایش تنش برشی می‌شود که با کاهش نسبت پیچش میزان افت فشار افزایش می‌یابد. دلیل عدمه این افزایش، پیمودن مسیر بیشتر به وسیله مبرد در داخل تست کندافسور در نسبت های پیچش کوچک تر است.

با نگاهی کلی به اشکال (۹) و (۱۰) مشاهده می‌شود که در

نوار) افت فشار افزایش می‌یابد. در بدترین حالت (نسبت پیچش ۶) افت فشار در حدود 240% نسبت به افت فشار لوله صاف زیاد می‌شود.

[۴]- بر اساس داده‌های تجربی این تحقیق، رابطه‌ای برای پیش‌بینی افت فشار چریان چگالشی در لوله صاف بر مبنای رابطه فریدل ارایه شد. مقادیر محاسبه شده با آن برای بیشتر داده‌ها در محدوده $20\% \pm 20\%$ مقادیر تجربی قرار می‌گیرند.

[۵]- براساس داده‌های آزمایشگاهی، برای به دست آوردن افت فشار در لوله‌های دارای نوار پیچیده شده، رابطه‌ای پیشنهاد شد که مقادیر محاسبه شده با آن برای بیشتر داده‌ها در محدوده $16\% \pm 16\%$ مقادیر تجربی قرار می‌گیرند.

۷- مراجع

Cavallini, A., Del Col, D., Doretti, L., Longo, G.A., and Rossetto, L., "Heat Transfer and Pressure Drop during Condensation of Refrigerants inside Horizontal Enhanced Tubes", Int. J. Refrig. , Vol.23 , PP.4-25 2000

Luu, M., and Bergles, A.E., "Enhancement of Horizontal In-Tube Condensation of R-113", ASHRAE Trans., Vol.86 part 1, PP. 293-311, 1980

Said, S.A., and Azer, N.Z., " Heat Transfer and Pressure Drop during Condensation inside Horizontal Tubes with Twisted Tape inserts", ASHRAE Trans., Vol.89 part 1A, PP. 96113 , 1983

Ramakrishna, K., and Azer, N.Z., "Correlation for Horizontal In-Tube Condensation with Twisted Tape inserts", Proc. 8th Nat. Heat and Mass Conf, Andhra Univ., Andhra, India, PP. 427-435, 1985.

Thome, J.R., " Wolverine Tube,Inc ", Engineering Data Book III, 2006.

Sonntag, R.E., Borgnakke, C., and Van wylen, G.J., "Fundamentals of Thermodynamics", John wiley and sons, New york, 1997.

Collier, J.G., and Thome, J.R., "Convective Boiling and Condensation", Oxford University Pres, 1994

Royal, J.H. and Bergles, A.E., "Augmentation of Horizontal In-Tube Condensation by means of Twisted Tape inserts and Internally Finned Tubes", ASME J. Heat Transfer, Vol.100, PP. 17-24 1978

Butterworth, D., " A Comparison of some Void Fraction Relationships for Co-Currunt Gas-Liquid Flow". Int. J. Multiphase Flow 1, 845-850, 1975

Lockhart, R.W, and Martinelli, R.C."Proposed Correlation of Data for Isothermal Two-Phase, Two-Component Flow in Pipes", Chem. Eng. Prog. 4, 39-48, 1949

Friedel, L., " Improved Friction Pressure Drop Correlations for Horizontal and Vertical Two-Phase Pipe Flow", 3R Int. 18 485-492, 1979.

Muller-Steinhagen, H. and Heck, K." A Simple Friction Pressure Drop Correlation for Two-Phase Flow in Pipes" , Chem. Eng. Processing Vol. 20 PP 297-308, 1986

Chisholm, D. and Laird, A.D.K., " Two-Phase Flow in Rough Tubes ", Trans. ASME 80, 276-286, 1958.

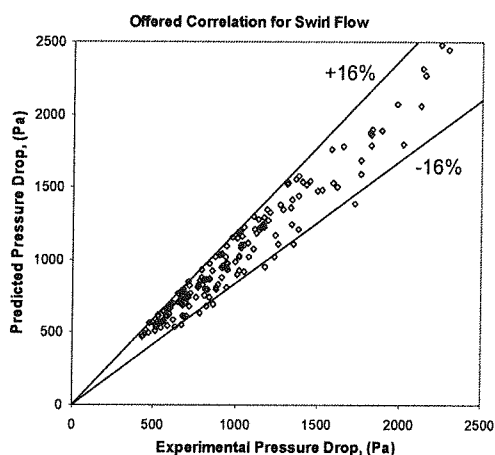
و پس از توسعه دادن این رابطه برای لوله‌های دارای نوار پیچیده شده و تأثیر دادن هندسه نوار(نسبت پیچش)، از طریق آنالیز رگرسیون حداقل مربعات^{۱۲}، ضرایب a_1 تا a_9 جدید حاصل شد. این ضرایب در جدول (۴) موجود است.

در این جدول، مقدار Re_e براساس رابطه ایکرز و همکارانش [۱۵] به صورت زیر است:

$$Re_e = \frac{G_e D}{\mu_f} \quad (16)$$

$$G_e = \left(x \left(\frac{\rho_f}{\rho_g} \right)^{0.5} + (1-x) G_{tot} \right) \quad (17)$$

شکل (۱۲) مقایسه‌ای میان مقادیر پیش‌بینی شده با رابطه ارایه شده برای لوله‌های مجهز به نوار پیچیده شده و داده‌های آزمایشگاهی را نمایش می‌دهد. همان طور که ازین شکل مشاهده می‌شود تقریباً تعامی مقادیر پیش‌بینی شده در محدوده $16\% \pm 16\%$ داده‌های آزمایشگاهی قرار می‌گیرند که نشان دهنده تطابق خوب این رابطه با داده‌های تجربی است.



شکل (۱۲) : مقایسه مقادیر آزمایشگاهی افت فشار لوله‌های با

نوار پیچیده شده با مقادیر پیش‌بینی شده با رابطه (۴) مقادیر انحراف میانگین و انحراف استاندارد رابطه فوق از مقادیر آزمایشگاهی به ترتیب برابر 0.98 ± 0.08 درصد است. این رابطه برای محدوده کیفیت بخار متوسطی در حدود $10\% \pm 10\%$ قابل استفاده می‌باشد.

۶- نتیجه گیری

از مطالعه فوق نتایج زیر حاصل شد:

- ۱- با افزایش کیفیت بخار و همچنین با افزایش سرعت جرمی، میزان افت فشار عموماً افزایش می‌یابد.
- ۲- میزان افزایش افت فشار تابعی از عدد رینولدز معادل و هندسه لوله با نوار پیچیده شده است.
- ۳- با ثابت ماندن سایر شرایط، با کاهش نسبت پیچش(گام

Gronnerud, R., "Investigation in Liquid Hold-up, Flow Resistance and Heat Transfer in Circular Type Evaporators", Part 4: Two-Phase Resistance in Boiling Refrigerant, Bulletin de l'Inst. Du Froid, Annexe 1972-1, 1972

[۱۴]

Akers, W.W., Deans, H.A., and Crosser, O.K., "Condensing Heat Transfer within Horizontal Tubes", Chem. Engg. Progr. Symp. Ser., Vol. 55 No. 29, PP. 171-176, 1959.

[۱۵]

جدول (۴) : ثابت‌های روابط پیشنهادی و رابطه فریدل

ارایه دهنده	Re_e	a_1	a_2	a_3	a_4	a_5	a_6	a_7	a_8	a_9
فریدل	—	۲/۲۴	۰/۰۴۵	۰/۰۳۵	•	۰/۷۸	۰/۲۲۴	۰/۹۱	۰/۱۹	۰/۷
این تحقیق (لوله صاف)	$Re_e > 12000$	۵۰۲/۲۵	۰/۰۷۸	۰/۰۲۷	$\left(\frac{Re_e}{10000}\right)^{2.5}$	۰/۴۱	۰/۰۹۶	۰/۹۹	۰/۰۲	۰/۳۶
	$Re_e \leq 12000$	۵۰۲/۲۵	۰/۰۷۸	۰/۰۲۷	$\left(\frac{Re_e}{9000}\right)^{-2}$	۰/۷۵	۰/۲۲۴	۰/۹	۰/۱۰	۰/۵۵
این تحقیق (لوله با نوار)	$Re_e > 12000$	۴/۱۶	۰/۰۴۵	۰/۰۳۵	$\left(\frac{Re_e}{15000}\right)^{0.85} + 3\left(\frac{10}{Y}\right)^{3.4} + \frac{Y}{2} - 10$	۰/۷۲	۰/۲۱۴	۰/۹۲	۰/۱۴	۰/۶۶
	$Re_e \leq 12000$	۴/۱۶	۰/۰۴۵	۰/۰۳۵	$\left(\frac{Re_e}{10000}\right)^{-4} + 2.7\left(\frac{10}{Y}\right)^3 + \frac{Y}{2}$	۰/۷۵	۰/۲۱۶	۰/۹۲	۰/۱۴	۰/۶۶

۸- زیرنویس‌ها

- ۱ Active and Passive Technique
- ۲ Twisted Tape
- ۳ Test Condenser
- ۴ Counter Flow
- ۵ Pre Condenser
- ۶ After Condenser
- ۷ Twist Ratio
- ۸ Mean Deviation
- ۹ Standard Deviation
- ۱۰ Entrainment
- ۱۱ Redeposition
- ۱۲ Least Square Regression